



TWO-PARAMETER CHARACTERISATION OF A CRACK GROWING IN THE VICINITY OF THE MATERIAL INTERFACE

R. Gröger*, Z. Kněsl†

Summary: A crack propagating in the vicinity of the material interface is analyzed. The problem is solved in the range of two-parameter linear elastic fracture mechanics. The aim of the contribution is to assess the influence of T stress on the direction of a crack growing to the interface. The interface is modelled for different material properties characterised by the Dundur's composite parameters. First the effect of the interface on T stress value is studied and values of K_I , K_{II} and T stress are estimated. Consequently the two-parameter modification of MTS criterion and Sih's SED criterion is used for prediction of a crack propagation direction. Both these approaches are compared. It is concluded that the negative values of T stress stabilize the crack propagation perpendicularly to the interface.

Key words: T-stress, mixed mode, material interface, constraint, MTS, SED.

Úvod

Lomová houževnatost materiálů může být významně ovlivněna velikostí constraintu na čele trhliny. Experimentálně je totiž prokázáno, že vzorky s nižší hodnotou constraintu vykazují vyšší hodnotu lomové houževnatosti.

Z analýzy rozdelení napětí v okolí kořene trhliny vyplývá, že jednou z možných cest vedoucích k popisu tohoto constraintu je složka napětí σ_{xx} paralelní k lícím trhliny, označovaná jako T napětí. Je také známo, že velikost plastické zóny závisí významně na velikosti T napětí. Závislost velikosti a tvaru plastické zóny na velikosti constraintu byly poprvé studovány Larssonem a Carlssonem v [3]. Constraint je označován jako vysoký, je-li $T > 0$, popř. nízký, je-li $T < 0$.

Ačkoliv v současné době existuje již množství prací zabývajících se popisem constraintu pro různé konfigurace modelu a okrajových podmínek, stále ještě zůstává v nedostatečné míře zodpovězena otázka vlivu smíšeného módu zatížení na hodnotu T napětí. Ke vzniku smykového módu přitom dochází jednak v homogenních tělesech, ale také v případě nehomogenních těles, kde jednu skupinu problémů tvoří úlohy s trhlinami v blízkosti rozhraní materiálů.

Z literatury [5] je známo, že trhлина, která leží v blízkosti rozhraní dvou materiálů a je skloněna k rozhraní o nenulový úhel (obr. 1) se chová následovně:

$E_1 < E_2$ – dochází ke zvětšování úhlu θ_0 charakterizujícího směr šíření trhliny. Trhлина pak bude mít snahu natáčet se do směru rovnoběžného s rozhraním materiálů.

$E_1 = E_2$ – homogenní případ; dochází k šíření trhliny pod úhlem, který závisí na poměru faktorů intenzity napětí K_{II}/K_I

*Ing. Roman Gröger, Ústav fyziky materiálů AV ČR, Žižkova 22, 616 62 Brno a
Ústav mechaniky těles, Fakulta strojního inženýrství VUT v Brně, Technická 2, 616 69 Brno
tel. +420 5 4163 6351, e-mail: groger@ipm.cz

†Prof. RNDr. Zdeněk Kněsl, CSc., Ústav fyziky materiálů AV ČR, Žižkova 22, 616 62 Brno
tel. +420 5 4163 6358, e-mail: knesl@ipm.cz

$E_1 > E_2$ – V tomto případě dochází ke stabilizaci směru šíření trhliny. Znamená to, že se trhlina bude postupně natáčet do směru kolmého k vnějšímu zatížení, tedy kolmo k rozhraní materiálů.

V této práci je analyzováno šíření trhliny s ohledem na velikost normálové a smykové složky zatížení. Pro tento obecně smíšený zátěžný stav je vypočtena velikost K_I , K_{II} a T napětí. Na základě modifikovaného kritéria maximálního tahového napětí (MTS) a kritéria hustoty deformační energie (SED) je predikován směr šíření trhliny. V druhé části práce je studován efekt vzdálenosti rozhraní na velikost constraintu napětí a stabilitu směru šířící se trhliny.

Teoretické pozadí

Rozdělení napětí v okolí kořene trhliny

Rozdělení napětí v okolí kořene trhliny je v polárních souřadnicích (r, θ) možné zapsat pomocí Williamsova rozvoje

$$\sigma_{ij} = \sum_{k=0}^{\infty} C_k r^{\lambda_k} f_{ij}^k(\theta) \quad (1)$$

Ačkoliv je tato řada nekonečná, v rámci dvouparametrové lomové mechaniky jsou uvažovány pouze první dva členy, z nichž první člen je pro $r \rightarrow 0$ singulární s exponentem singularity $\lambda_k = -1/2$ a je popisován faktorem intenzity napětí K . Druhý člen Williamsova rozvoje je pro libovolné r konstantní a je označován jako T napětí. Rozdělení napětí v okolí kořene trhliny je pak

$$\sigma_{ij} = \frac{K_I}{\sqrt{2\pi r}} f_{ij}^I(\theta) + \frac{K_{II}}{\sqrt{2\pi r}} f_{ij}^{II}(\theta) + T \delta_{1i} \delta_{1j} \quad (2)$$

kde K_I , K_{II} jsou faktory intenzity napětí pro normálový a smykový mód, δ_{1i} a δ_{1j} jsou Kroneckerovy symboly. Jak je vidět, constraint v podobě T napětí se u normálového módu namáhání projeví pro $i = j = 1$ pouze u složky $\sigma_{11} \equiv \sigma_{xx}$.

Vlastnosti materiálového rozhraní

Materiálové vlastnosti jsou v případě kompozitních těles dány čtveřicí konstant E_1 , ν_1 , E_2 , ν_2 , které jsou většinou vyjadřovány ve formě tzv. Dundurových kompozitních parametrů α , β daných vztahy (např. [2])

$$\alpha = \frac{\Gamma(\kappa_1 + 1) - (\kappa_2 + 1)}{\Gamma(\kappa_1 + 1) + (\kappa_2 + 1)}, \quad \beta = \frac{\Gamma(\kappa_1 - 1) - (\kappa_2 - 1)}{\Gamma(\kappa_1 + 1) + (\kappa_2 + 1)}, \quad (3)$$

kde Γ je poměr smykových modulů pružnosti μ_1/μ_2 . Koeficienty κ_1 , κ_2 závisí na ν_1 a ν_2 vztahy $\kappa_i = 3 - 4\nu_i$ pro rovinou deformaci a $\kappa_i = (3 - 4\nu_i)/(1 + \nu_i)$, kde ν_i je Poissonovo číslo materiálu i . Velikostně nabývají kompozitní parametry hodnot $-1 \leq \alpha \leq 1$ a $-0,5 \leq \beta \leq 0,5$. Ve speciálním případě, kdy $\alpha = \beta = 0$ se pak jedná o homogenní těleso.

Vzhledem k tomu, že v naší analýze budou oba materiály mít stejně Poissonovo číslo, bude využito poměru E_1/E_2 charakterizujícího vlastnost jejich rozhraní. Tento poměr přitom, na rozdíl od kompozitních parametrů α a β , může nabývat všech reálných hodnot.

Metoda výpočtu T-napětí

Velikost constraintu je v případě elastické napjatosti charakterizována hodnotou T napětí. Jedna z možných metod určení T napětí [1], označovaná jako *přímá metoda superpozice napětí*, vychází z faktu, že na volných lících trhliny budou nenulové pouze složky radiálního napětí σ_{xx} . Pro $\theta = \pm\pi$ jsou členy s K_I a K_{II} nulové a T napětí je přímo rovno velikosti radiálního napětí $\sigma_{xx}|_{\theta=\pm\pi}$. Pro výpočet T lze pak s výhodou použít approximativní vztah [1]

$$T = \frac{1}{2} (\sigma_{xx}|_{\theta=-\pi} + \sigma_{xx}|_{\theta=\pi}) \quad (4)$$

Faktor biaxiality zavedený Leeversem a Radonem [4] lze v případě smíšeného módu zatížení definovat vztahem [1]:

$$B = \frac{T\sqrt{\pi a}}{K_{eff}}, \quad (5)$$

kde a je délka trhliny, T je velikost T napětí a K_{eff} je efektivní hodnota faktoru intenzity napětí. V případě smíšeného módu zatížení lze K_{eff} podle [1] vyjádřit relací:

$$K_{eff} = \sqrt{K_I^2 + K_{II}^2} \quad (6)$$

Predikce směru šíření trhliny

V rámci jednoparametrové lomové mechaniky se obecně předpokládá, že se trhлина šíří kolmo na směr největšího hlavního napětí tak, aby byl vliv smykového módu zatížení eliminován. V rámci dvouparametrového popisu vstupuje do úvah o směru šíření trhliny navíc constraint charakterizovaný hodnotou T napětí. Nejpoužívanějšími kritérii pro určení směru šíření trhliny jsou Sihovo kritérium hustoty deformační energie (SED) a kritérium maximálního tahového napětí (MTS).

SED kritérium je založeno na předpokladu, že trhлина se bude šířit ve směru minimální objemové hustoty deformační energie dW/dV , tedy ve směru minima funkce

$$S \equiv \frac{dW}{dV} = a_{11}K_I^2 + 2a_{12}K_I K_{II} + a_{22}K_{II}^2 + b_1 K_I T + b_2 K_{II} T + b_3 T^2 \quad (7)$$

Koefficienty a_{ij} jsou funkcemi radiálních souřadnic (r,θ) a materiálových parametrů a jsou dány vztahy [7]:

$$\begin{aligned} a_{11} &= A(\kappa - \cos \theta)(1 + \cos \theta) & b_1 &= B \cos \frac{\theta}{2} [(\kappa - 2) - \cos \theta + 2 \cos^2 \theta] \\ a_{12} &= A \sin \theta [(1 - \kappa) + 2 \cos \theta] & b_2 &= -B \sin \frac{\theta}{2} [\kappa + \cos \theta + 2 \cos^2 \theta] \\ a_{22} &= A [(1 + \kappa)(1 - \cos \theta) + (1 + \cos \theta)(3 \cos \theta - 1)] & b_3 &= \frac{1+\kappa}{16\mu}, \end{aligned} \quad (8)$$

kde $A = 1/(16\mu\pi r)$, $B = 1/(4\mu\sqrt{2\pi r})$, μ je smykový modul pružnosti a κ je koeficient definovaný u vztahu (3). Minimalizací funkce (7) získáme směr šíření trhliny θ_0 splňující podmínky minima hustoty deformační energie $\partial S / \partial \theta = 0$ a $\partial^2 S / \partial \theta^2 > 0$.

Kritérium MTS vychází z předpokladu, že se trhлина bude vždy šířit směrem maximálního tahového napětí, tj. ve směru maxima obvodového napětí $\sigma_{\theta\theta}$. Z rozboru výsledků prací zabývajících se výpočty směru šíření trhliny vyplývá, že směr šíření trhliny závisí v případě smíšeného módu na velikosti K_I , K_{II} , T a na vzdálenosti od kořene trhliny. Hledaný úhel θ_0 pak podle modifikovaného kritéria MTS odpovídá maximu napětí $\sigma_{\theta\theta}$, tj. splňuje podmínky $\partial \sigma_{\theta\theta} / \partial \theta = 0$ a $\partial^2 \sigma_{\theta\theta} / \partial \theta^2 < 0$.

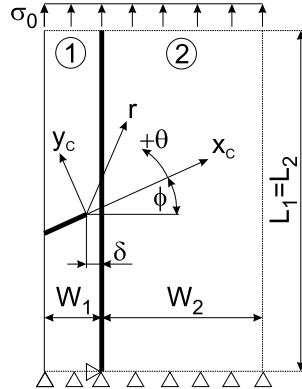
$$\sigma_{\theta\theta} = \frac{1}{4\sqrt{2\pi r}} \left[K_I \left(3 \cos \frac{\theta}{2} + \cos \frac{3\theta}{2} \right) - 3K_{II} \left(\sin \frac{\theta}{2} + \sin \frac{3\theta}{2} \right) \right] + T \sin^2 \theta \quad (9)$$

Skutečnost, že směr šíření trhliny závisí také na vzdálenosti r_0 způsobuje problematické stanovení úhlu θ_0 . V literatuře je voleno obvykle $r_0 = a/100$, kde a je délka trhliny, přičemž tato volba je čistě účelová a nemá odpovídající fyzikální opodstatnění. V článku [6] je hodnota r_0 rovna velikosti plastické zóny na čele trhliny, která je určena např. pomocí von Misesovy podmínky. Prakticky se velikost plastické zóny určuje ve směru trhliny, přičemž v obecném případě je k vyjádření θ_0 z rovnic (7) a (9) nutné použít metod numerické analýzy.

Numerické výsledky

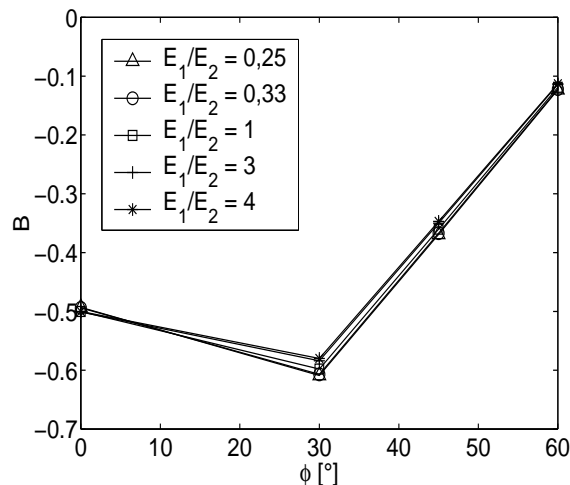
Stanovení velikosti lomových parametrů

Pro výpočet T napětí a směru šíření trhliny byl použit vzorek s boční trhlinou délky a skloněnou od kolmice k rozhraní o úhel ϕ . Vzorek byl modelován jako polonekonečný a byl podroben normálovému zatížení v dostatečné vzdálenosti od kořene trhliny.



Obr. 1: Model vzorku s trhlinou

Napětí $\sigma_0 = 50 \text{ MPa}$ bylo modelováno jako liniové, přičemž byly uvažovány podmínky rovinné deformace. Rozhraní materiálů bylo tvořeno spojením dvou pásů, zajistujícím spojitosť posuvů na rozhraní, o šírkách $W_1 = 20 \text{ mm}$, $W_2 = 200 \text{ mm}$ a délce $L_1 = L_2 = 1000 \text{ mm}$. Oba materiály byly uvažovány homogenní, přičemž v našich výpočtech zůstávala Poissonova čísla obou materiálů neměnná, a to $\nu_1 = \nu_2 = 0,3$.



Obr. 2: Nezávislost faktoru biaxiality na poměru E_1/E_2

Nejdříve byly zjištovány hodnoty K a T pro konstantní vzdálenost trhliny od rozhraní $\delta = 10 \text{ mm}$. K approximaci T byla použita přímá metoda superpozice napětí [1]. Hodnoty σ_{xx} byly stanoveny pro poměr $0,2 \leq r/a \leq 1$ na obou lících trhliny, tj. pro $\theta = -\pi$ a $\theta = \pi$.

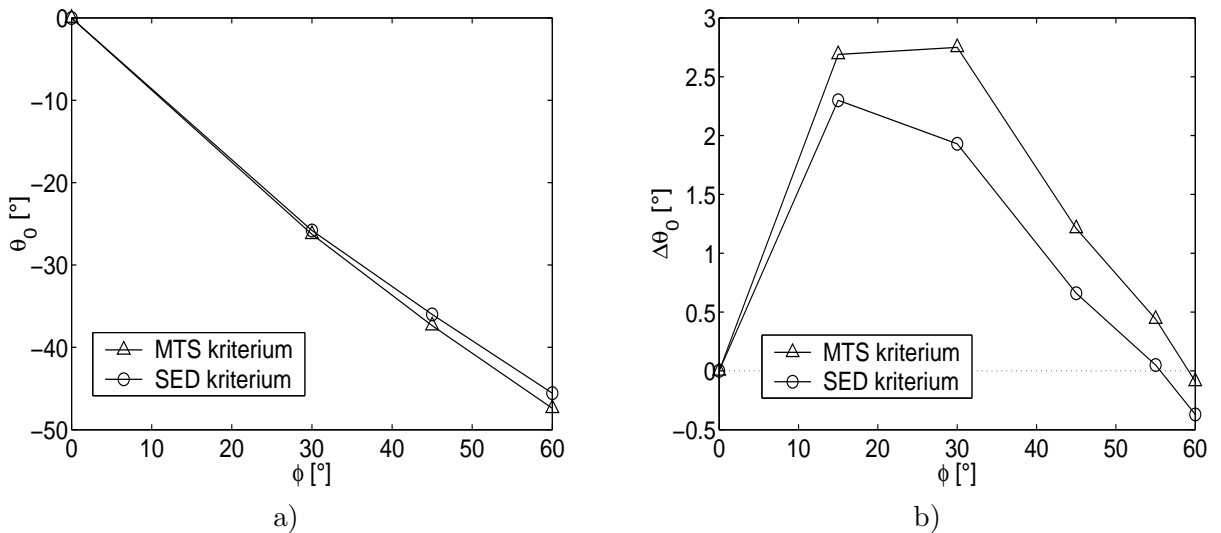
Závislost faktoru biaxiality na úhlu sklonu trhliny ϕ pro různé poměry E_1/E_2 ukazuje obr. 2. Vidíme, že pro všechny sledované úhly ϕ je stanovená hodnota B velmi blízká a lze tedy říci, že faktor biaxiality je nezávislý na vlastnostech rozhraní.

Směr šíření trhliny

Nejdříve byla testována shoda výsledků získaných pomocí kritéria MTS a SED, a to pro typicky nehomogenní rozhraní $E_1/E_2 = 4$. Získané hodnoty uvádí tab. 1, průběh závislosti $\theta_0(\phi)$ pak obr. 3 a). Obě kritéria poskytují velmi blízké hodnoty směru šíření trhliny, a to jak pro homogenní, tak i nehomogenní rozhraní materiálů. V tab. 1 uvádíme získané hodnoty pouze pro významné poměry Youngových modulů.

Tab. 1: Hodnoty lomových parametrů pro různý sklon trhliny ϕ . Jednotky: K [MPa.mm $^{1/2}$], T [MPa], θ_0 [$^\circ$], ϕ [$^\circ$]

$E_1/E_2 = 0,25$		$E_1/E_2 = 4$			
	ϕ	0	30	45	60
K_I	93,63	82,67	70,31	54,87	
K_{II}	0,03	27,45	35,30	39,17	
T	-8,23	-9,46	-5,18	-1,48	
B	-0,49	-0,61	-0,37	-0,12	
θ_0 (MTS)	-0,03	-29,85	-39,45	-47,17	
θ_0 (SED)	-0,03	-28,34	-37,17	-44,85	



Obr. 3: Porovnání kritéria MTS a SED ($E_1/E_2 = 4$, $\delta = 10$ mm)

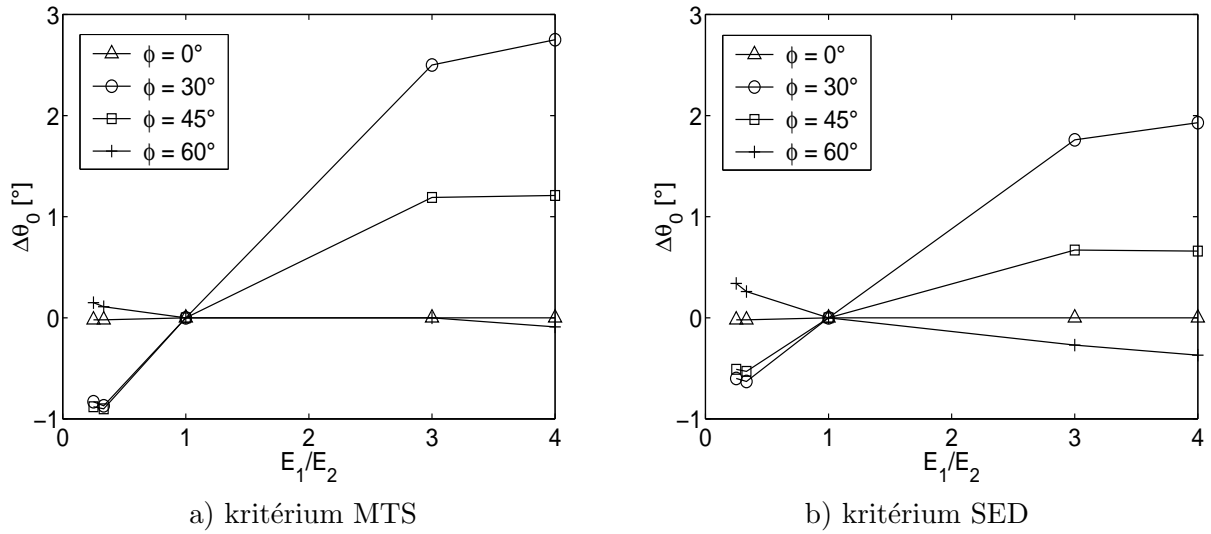
V našem případě nejsou čela trhliny podrobena pouze čistému normálovému módu, kde $K_{II} = 0$, ale navíc obsahují jistou nenulovou složku smykového zatížení. K čistému módu I dochází pouze u $\phi = 0$. Natáčíme-li postupně líce trhliny o úhel ϕ , převládá pro dané δ smykové zatížení nad vlivem rozhraní. Tento jev trvá přibližně do $\phi = 60^\circ$. Při dalším natáčení trhliny se projevuje významný vliv rozhraní a směr šíření trhliny je pro $E_1 > E_2$ rozhraním stabilizován.

Uvažujme polární souřadný systém (r, θ) s vrcholem v kořeni trhliny. Označme $\bar{\theta}_0$ směr šíření trhliny vypočtený pro homogenní vzorek, tj. za předpokladu $E_1 = E_2$. Mějme libovolnou nehomogenní kombinaci materiálových charakteristik E_i a ν_i , pro kterou máme určen směr šíření trhliny označený θ_0 . Potom rozdíl úhlů

$$\Delta\theta_0 = \theta_0 - \bar{\theta}_0 \quad (10)$$

označíme jako *stabilizační úhel* materiálového rozhraní.

Je-li tento úhel kladný, má trhlina tendenci šířit se podél rozhraní; bude-li úhel $\Delta\theta_0$ záporný, má rozhraní stabilizační vliv na směr šíření trhliny, a ta se natáčí kolmo k rozhraní.



Obr. 4: Efekt stabilizace úhlu θ_0 pro různé kombinace E_1/E_2 a ϕ ($\delta = 10$ mm)

Na obr. 4 je vidět porovnání stabilizačních úhlů $\Delta\theta_0$ stanovených na základě kritéria MTS a SED. V jistém rozmezí ϕ je pro $E_1/E_2 > 1$ stabilizační úhel kladný. Pro úhly $\phi > 60^\circ$ již můžeme pozorovat podstatný stabilizační vliv rozhraní – obr. 3 b). Šíří-li se trhlina z materiálu E_1 a platí, že $E_1 > E_2$, způsobuje rozhraní stabilizaci směru šíření trhliny. Trhlina má tedy snažit se ve směru kolmém k rozhraní. Pro $\phi > 60^\circ$ lze pozorovat výrazný stabilizační účinek rozhraní, což dokazuje i průběh $\Delta\theta_0(\phi)$ pro obě použitá kritéria na obr. 3 b).

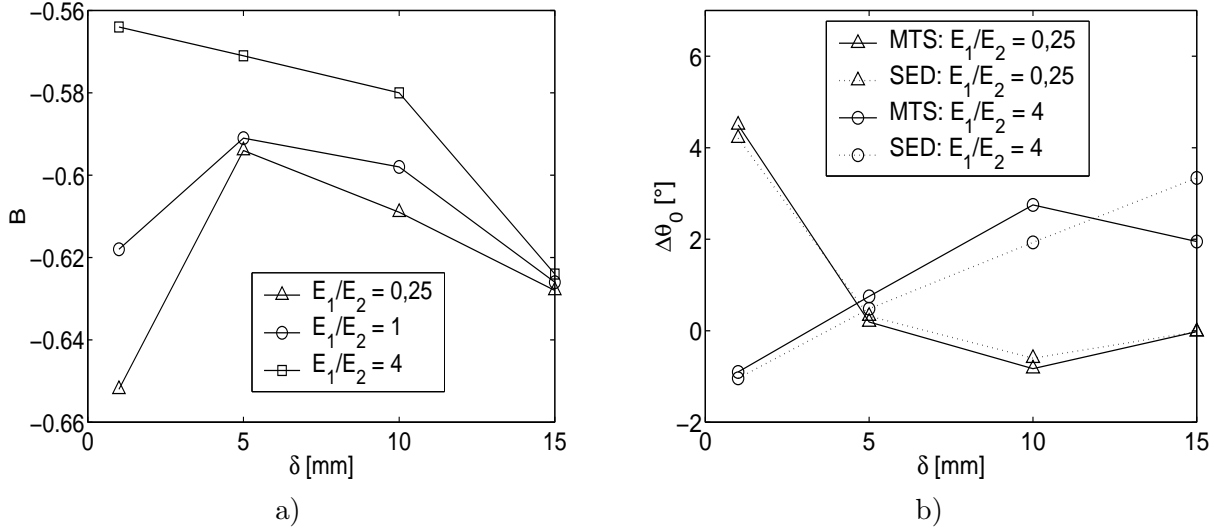
Efekt vzdálenosti trhliny od rozhraní

Předchozí analýzy předpokládaly neměnnou vzdálenost δ kořene trhliny od rozhraní. Abychom dokázali lépe zodpovědět, jaký vliv má rozhraní na velikost constraintu a směru šíření trhliny, byly modelovány další tři konfigurace pro $\delta = 1, 5$ a 15 mm. Výpočty byly provedeny pro úhel sklonu trhliny $\phi = 30^\circ$ a různé kombinace E_1/E_2 – získané hodnoty udává pro okrajové poměry Youngových modulů následující tabulka.

Tab. 2: Hodnoty lomových parametrů pro různé vzdálenosti kořene trhliny od rozhraní.
Jednotky: K [MPa.mm $^{1/2}$], T [MPa], θ_0 [$^\circ$], δ [mm]

$\phi = 30^\circ, E_1/E_2 = 0,25$					$\phi = 30^\circ, E_1/E_2 = 4$					
	δ				K_I	δ				K_{II}
	1	5	10	15		1	5	10	15	
K_I	99,10	92,14	82,67	63,20	1553,60	949,23	668,19	414,05		
K_{II}	14,68	28,08	27,45	21,47	367,50	311,95	223,42	140,68		
T	-8,45	-8,34	-9,46	-10,58	-116,59	-83,16	-72,94	-68,82		
B	-0,65	-0,59	-0,61	-0,63	-0,56	-0,57	-0,58	-0,62		
θ_0 (MTS)	-15,40	-28,30	-29,85	-29,71	-20,80	-27,74	-26,27	-27,74		
θ_0 (SED)	-14,99	-26,89	-28,34	-28,31	-20,24	-26,73	-25,81	-24,95		

Na obr. 5 a) je vidět vliv rozdílnosti Youngových modulů na velikost faktoru biaxiality. Nachází-li se kořen trhliny v dostatečné vzdálenosti od rozhraní, jsou hodnoty B pro všechny sledované kombinace E_1/E_2 velmi blízké. S klesající vzdáleností δ pozorujeme výrazný nárůst B pro $E_1/E_2 > 1$.



Obr. 5: Vliv vzdálenosti rozhraní na velikost B a úhlové diference $\Delta\theta_0$

Získané hodnoty θ_0 pro obě použitá kritéria udává tab. 2, průběh velikosti stabilizačního úhlu $\Delta\theta_0$ pak obr. 5 b). V případě, kdy se trhlina šíří z materiálu s větším Youngovým modulem, tedy $E_1/E_2 > 1$, dochází s klesající vzdáleností δ k poklesu $\Delta\theta_0$. Fyzikálně se jedná o stav, kdy se trhlina natáčí do směru kolmého k rozhraní, tedy kolmo na směr největšího hlavního napětí. V těsné blízkosti rozhraní dostáváme zápornou hodnotu stabilizačního úhlu $\Delta\theta_0$ a rozhraní pak výrazně ovlivňuje směr šíření trhliny.

V druhém případě, kdy se trhlina šíří z materiálu s menším Youngovým modulem, tedy $E_1/E_2 < 1$, dochází v blízkosti rozhraní k nárůstu $\Delta\theta_0$. V těsné blízkosti rozhraní je $\Delta\theta_0$ kladný, což nasvědčuje stavu, kdy se trhlina natáčí do směru rovnoběžného s rozhraním.

Závěr

Byla modelována součást s rozhraním dvou materiálů, kde z materiálu 1 se do materiálu 2 šíří trhlina pod obecným úhlem ϕ s kořenem ve vzdálenosti δ od rozhraní. Pro výpočet T napětí byla použita přímá metoda superpozice napětí [1], z něhož byl následně určen faktor biaxiality napětí B .

Pro predikci směru šíření trhliny bylo využito modifikovaného kritéria maximálního tahového napětí MTS a také Sihova kritéria hustoty deformační energie SED. Získané úhly směru šíření trhliny θ_0 byly vyjádřeny pomocí stabilizačního úhlu $\Delta\theta_0$. Je-li tento úhel kladný, způsobuje rozhraní nárůst úhlu šíření trhliny. Je-li tento úhel záporný, má rozhraní výrazný stabilizační účinek na směr šíření trhliny a trhlina má tendenci šířit se kolmo k rozhraní.

Bylo zjištěno, že rozhraní dvou materiálů má výrazný vliv na stabilitu směru šířící se trhliny, a to zejména v těsné blízkosti rozhraní. V případě, kdy se trhlina šíří z materiálu s vyšším Youngovým modulem, je vliv rozhraní na směr šíření trhliny malý a s klesající vzdáleností kořene trhliny od rozhraní významně narůstá. Vychází-li trhlina z materiálu s menším E , má tendenci šířit se ve směru rovnoběžném s rozhraním, a to hlavně v těsné blízkosti rozhraní, kdy je stabilizační účinek rozhraní podstatný (kladný úhel $\Delta\theta_0$). U trhlin ve větších vzdálenostech od rozhraní je směr jejich šíření výrazně ovlivněn velikostí smykových napětí podél lící trhliny.

Ze získaných výsledků byl studován vliv vzdálenosti rozhraní na hodnoty lomových parametrů a na směr šíření trhliny. Bylo zjištěno, že s klesající vzdáleností δ kořene trhliny od rozhraní klesá (pro $E_1/E_2 > 1$), popř. roste (pro $E_1/E_2 < 1$) velikost stabilizačního úhlu. Důsledkem těchto závěrů je již zmíněná tendence trhliny rychleji se natáčet do směru kolmého, popř. rovnoběžného s rozhraním. V těsné blízkosti rozhraní je už možné pozorovat výrazný vliv nehomogeneity prostředí.

Výsledky této práce lze využít při studiu šíření trhlin zejména v kompozitních materiálech. V případě, kdy trhлина končí na rozhraní materiálů, je exponent singularity napětí obecně různý od $-1/2$ a zavádí se zobecněný faktor intenzity napětí H . Pokud se trhлина šíří v rozhraní, je tento exponent komplexní a ke stanovení hodnot lomových parametrů je nutné zabývat se komplexní analýzou rovnice (1).

Poděkování

Tento článek byl vytvořen v rámci řešení grantu GA ČR č. 106/99/1173.

Reference

- [1] Ayatollahi M. R., Smith D. J., Pavier M. J.: *A method for calculating T-stress in mixed mode problems*, Key Engin. Materials **145–149**, pp. 83–88, 1998
- [2] Kněsl Z., Šrámek A., Kad'ourek J., Kroupa F.: *Stress concentration at the edges of coatings on tensile specimens*, Acta Technica ČSAV **5**, pp. 574–593, 1991
- [3] Larsson S. G., Carlsson A. J.: *Influence of non-singular stress terms on small scale yielding at crack tips in elastic-plastic materials*, Institutionen för hallfasthetsteknologi, Kungl. Tekniska Högskolan, Stockholm, 1972
- [4] Leevens P. S., Radon J. C.: *Inherent stress biaxiality in various fracture specimen geometries*, Int. Journal of Fracture **19**, pp. 311–325, 1982
- [5] Menčík J.: *Mechanics of Components with Treated or Coated Surfaces*, Kluwer Academic Publishers, Dordrecht, 1996
- [6] Seitl S., Kněsl Z.: *Two parameter fracture mechanics: Prediction of the direction of crack growth*, Conference Eng. Mechanics, Vol. **4**, Svatka, 2000
- [7] Sládek J., Sládek V., Fedelinski P.: *Contour integrals for mixed-mode crack analysis: effect of nonsingular terms*, Theoretical and Appl. Mech. **27**, pp. 115–127, 1997
- [8] Yang B., Ravi-Chandar K.: *Evaluation of elastic T-stress by the stress difference method*, Eng. Fracture Mechanics **64**, pp. 589–605, 1999